

## ارزیابی حساسیت مخاطره زمین‌لغزش با استفاده از مدل انتروپی شانون در زاگرس

### چین خورده

#### مطالعه موردی: حوضه آبخیز ورن سرا

عبدالمجید احمدی<sup>۱</sup>; استادیار گروه جغرافیا، دانشکده ادبیات و علوم انسانی، دانشگاه رازی، کرمانشاه، ایران.

عبدالکریم ویسی<sup>۲</sup>; دانشآموخته دکتری ژئومورفولوژی، دانشگاه تهران، تهران، ایران.

دریافت مقاله: ۱۳۹۹/۱۰/۱۶ پذیرش نهایی: ۱۴۰۲/۰۳/۳۰

#### چکیده

پنهانه‌بندی خطر زمین‌لغزش از جمله اقدامات اساسی در جهت مقابله و کاهش اثرات وقوع زمین‌لغزش می‌باشد. حوضه آبخیز ورن سرا یکی از مناطقی است که آثار زمین‌لغزش‌های متعدد در قسمت‌های مختلف آن مشاهده شده است. در این پژوهش به منظور پنهانه‌بندی خطر زمین‌لغزش با استفاده از شاخص انتروپی، ابتدا محدوده‌های لغزش مشخص گردید، سپس عوامل مؤثر در وقوع حرکات دامنه‌ای در محیط نرم‌افزار ArcGIS تهیه و نقشه حساسیت زمین‌لغزش منطقه مورد مطالعه تهیه گردید. اولویت-بندی عوامل مؤثر با استفاده از شاخص انتروپی شانون نشان داد که لایه‌های شب، کاربری اراضی، انحنای سطح، شاخص رطوبت توپوگرافی و شاخص موقعیت توپوگرافی بیشترین تأثیر را در وقوع زمین‌لغزش منطقه داشته‌اند. همچنین پنهانه‌بندی حساسیت زمین‌لغزش با مدل مذکور و ارزیابی دقت آن با استفاده از منحنی ROC بیانگر دقت خیلی خوب مدل (۷۹/۶ درصد) با انحراف استاندارد (۰/۰۲۲۸) برای منطقه مورد مطالعه است. نقشه پنهانه‌بندی گویای آن است که پنهانه‌های کم خطر فقط ۱۳ درصد از منطقه را در بر می‌گیرند و بیش از ۵۶ درصد منطقه در پنهانه با خطر زیاد زمین‌لغزش قرار دارد که حاکی از پتانسیل بالای منطقه در رخداد زمین‌لغزش است. ساخت و ساز با فاصله از خطوط گسلی، آبراهه‌ها و سازند آسماری پرشیب و ایمنی مسیرهای ارتباطی مهم‌ترین اقدامات برای کاهش میزان خسارات ناشی از زمین‌لغزش در حوضه آبخیز ورن سرا است.

واژه‌های کلیدی: مخاطرات طبیعی، زمین‌لغزش، انتروپی، زاگرس، چین خورده.

## مقدمه

نایابی دامنه‌های طبیعی یکی از مخاطرات ژئومورفولوژیکی است که در تغییر شکل زمین نقش مهمی دارد. زمانی که این فرایند فعالیت‌های انسانی را تحت تأثیر قرار می‌دهد به پدیده‌ای خطرناک تبدیل می‌شود. این نوع حرکات عمدتاً درنتیجه نیروی نقل، عوامل طبیعی مانند بارش، اشباع خاک از آب، زلزله و همچنین علل انسانی از جمله تخریب پوشش گیاهی و عملیات ناصحیح مهندسی به وقوع می‌پیوندد (رجی و فیض‌الله‌پور، ۱۳۹۳). خسارات ناشی از حرکات توده‌ای در ایران تا پایان شهریور ۱۳۸۶، ۱۲/۷ میلیارد ریال برآورد شده است (کارگروه مطالعه امور زمین‌لغزش، ۱۳۸۶). به‌منظور کاهش و یا کنترل خسارت ناشی از زمین‌لغزش، تهیه نقشه‌های حساسیت، خطر و ارزیابی ریسک زمین‌لغزش امری ضروری است (Wang et al, ۲۰۱۶). به‌طورکلی حساسیت زمین‌لغزش به بررسی و ارزیابی زمین‌لغزش‌های موجود و یا مناطق دارای پتانسیل رخداد زمین‌لغزش، بدون توجه به رویداد آن بستگی می‌پردازد (Guzzetti et al, ۲۰۰۵). اعتبار نقشه‌های حساسیت زمین‌لغزش عمدتاً بستگی به مقدار و کمیت داده‌های موجود، مقیاس کار و انتخاب روش مناسب حساسیت تحلیل و مدل‌سازی دارد (Baeza & Corominas, ۲۰۰۱). بر اساس رویکرد مدل‌سازی، روش تهیه نقشه‌های حساسیت زمین‌لغزش به ۴ گروه اصلی آماری، تحلیلی، قطعی و اکتشافی تقسیم می‌شود (Guzzetti et al, ۲۰۰۵) که هر کدام مزايا و محدودیت‌هایی دارند. از آنجایی که زمین‌لغزش‌ها در زمرة مخاطرات محیطی ویرانگر قرار دارند، محققان زیادی در سرتاسر جهان جهت ارزیابی حساسیت و خطر زمین‌لغزش از روش‌های مختلفی استفاده کرده‌اند (Paoletti, ۲۰۱۳).. محققانی در کشورهای مختلف با استفاده از مدل انتروپی به ارزیابی خطر زمین‌لغزش پرداخته‌اند (شکل ۱). از جمله آن‌ها می‌توان به محققین زیر اشاره کرد: پارک (۲۰۱۵) در کره جنوبی، فلسمیو و همکاران (۲۰۱۳) در شمال اسپانیا، چن و همکاران (۲۰۱۷) در چین، کورنژادی و همکاران (۲۰۱۷) در شمال‌غرب ایران، دیویس و بلسیوس (۲۰۱۳) در غرب آمریکا، دوکوتا و همکاران (۲۰۱۳) در نیپال، کوئلهونتو و همکاران (۲۰۰۹) در هند و پالاز (۲۰۲۰) در ترکیه. توزیع مطالعات زمین‌لغزش در سطح بین‌المللی حاکی از اهمیت پژوهش در این زمینه در ایران می‌باشد (شکل ۱).

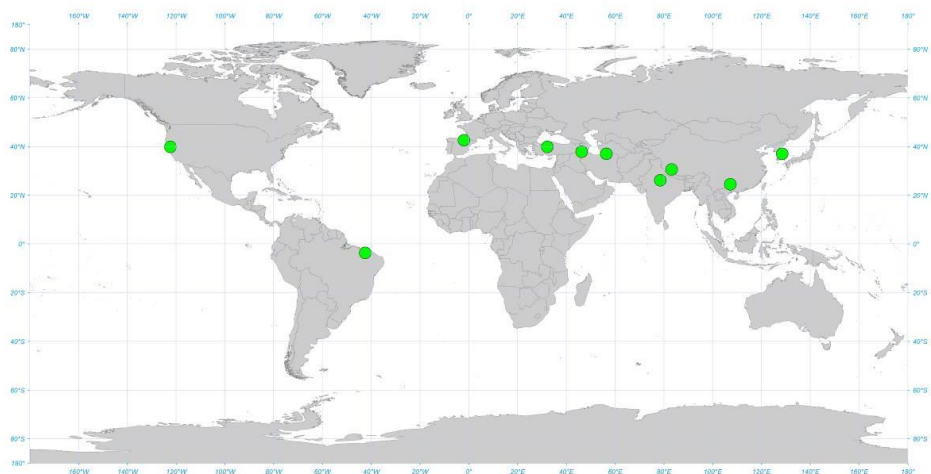
پهنه‌بندی خطر زمین‌لغزش، سطح زمین را به نواحی ویژه و مجازی از درجات بالفعل و یا بالقوه خطر از هیچ تا بسیار زیاد تقسیم می‌کند. این فرایند که بر مبنای شناخت ویژگی‌های طبیعی و مدل‌سازی کمی بر پایه داده‌های ناحیه موردمطالعه صورت می‌گیرد، می‌تواند مبنای برای اقدامات بعدی و برنامه‌ریزی‌های آتی توسعه و عمران در مقیاس منطقه‌ای، ناحیه‌ای، و محلی محسوب گردد (رامشت، ۱۳۷۵). کلیه روش‌های موجود در زمینه تهیه نقشه‌های پهنه‌بندی حساسیت زمین‌لغزش مبتنی بر برخی مفروضات پذیرفته شده می‌باشند که می‌توان آن‌ها را به صورت زیر بیان کرد (Kanungo et al, ۲۰۰۹)

- گذشته و حال کلید آینده هستند. این مطلب بدین معنی است که زمین‌لغزش‌های آینده، به احتمال زیادی تحت شرایط اقلیمی، هیدرولوژیکی، ژئومورفولوژیکی و زمین‌شناسی مشابه حال حاضر رخ خواهند داد.

- زمین‌لغزش‌ها به عنوان پدیده‌های ژئومورفولوژیکی مشخص می‌توانند به هر دو روش برداشت زمینی و تفسیر تصاویر سنجش‌از دور، شناسایی، طبقه‌بندی و نقشه‌برداری شوند.

- زمین‌لغزش‌ها به‌وسیله عوامل درونی قابل‌شناسایی (یعنی ویژگی‌های ذاتی زمین) که به عنوان فاکتورهای عاملی (مسیب) شناخته می‌شوند، کنترل می‌گردد که می‌توانند به روش برداشت زمینی و تفسیر تصاویر سنجش‌از دور، بررسی شوند.

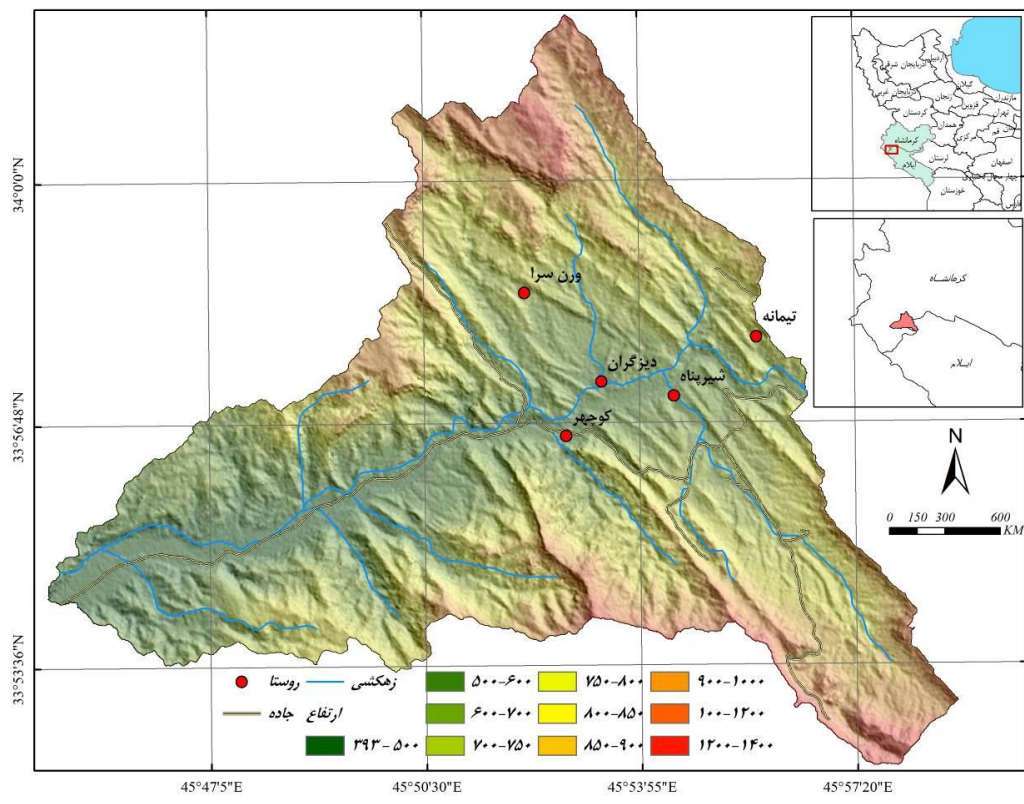
تاکنون مطالعه جامعی در ارتباط با تجزیه و تحلیل حساسیت زمین‌لغزش در حوضه آبخیز ورن‌سرا که یکی از مناطق مستعد وقوع زمین‌لغزش هست، انجام‌نشده است. احداث سد شرفشاه، وجود زیرساخت‌های نظامی و همچنین اهمیت مسیر مواصلاتی سومار به عراق دال بر اهمیت بررسی مخاطرات محیطی در این حوضه است. بنابراین انجام پژوهش حاضر برای ارزیابی و مدیریت محیطی در منطقه موردمطالعه به منظور پیشگیری و کاهش خسارات ناشی از وقوع زمین‌لغزش، ضروری است. هدف از پژوهش حاضر، تعیین عرصه‌های حساس به وقوع زمین‌لغزش با استفاده از روش انتروپی شانون در حوزه آبخیز ورن‌سرا و ارزیابی میزان دقّت مدل مذکور در منطقه موردمطالعه هست.



شکل ۱. موقعیت مناطقی که به مطالعه زمین‌لغزش با استفاده از روش انتروپی پرداخته شده است.

### داده‌ها و روش کار

حوضه آبخیز ورن‌سرا در جنوب‌غربی استان کرمانشاه و در طول جغرافیایی  $45^{\circ} ۴۳' ۱۳''$  تا  $۴۶^{\circ} ۱۲' ۰۲''$  شرقی و عرض جغرافیایی  $۳۵' ۱۲''$  تا  $۳۳^{\circ} ۵۷' ۲۴''$  شمالی واقع شده است (شکل ۲). مساحت این حوضه در حدود ۱۷۵ کیلومترمربع است بخش اعظم جاده مواصلاتی و همچنین پروژه‌های تأسیساتی و مکان‌های نظامی در این محدوده احداث شده است. شهر سومار در سمت جنوب‌غربی و سکونتگاه‌های روستایی و پادگان‌های نظامی مهم‌ترین سکونتگاه‌های انسانی منطقه موردمطالعه می‌باشند. در این منطقه ناپایداری‌های دامنه‌ای به‌ویژه به صورت زمین‌لغزش‌های بزرگ و کوچک و همچنین ریزش نقش مهمی در تحول دامنه‌ها ایفا می‌کند. این‌گونه ناپایداری‌های دامنه‌ای علاوه بر تخریب اراضی و رسوب زایی، به عنوان یک مخاطره ژئومورفولوژیکی نیز مطرح می‌باشد که در برخی از موارد تهدیدی جدی برای سکونتگاه‌ها و تأسیسات زیربنایی منطقه محسوب می‌شود.



شکل ۲. موقعیت منطقه مورد مطالعه

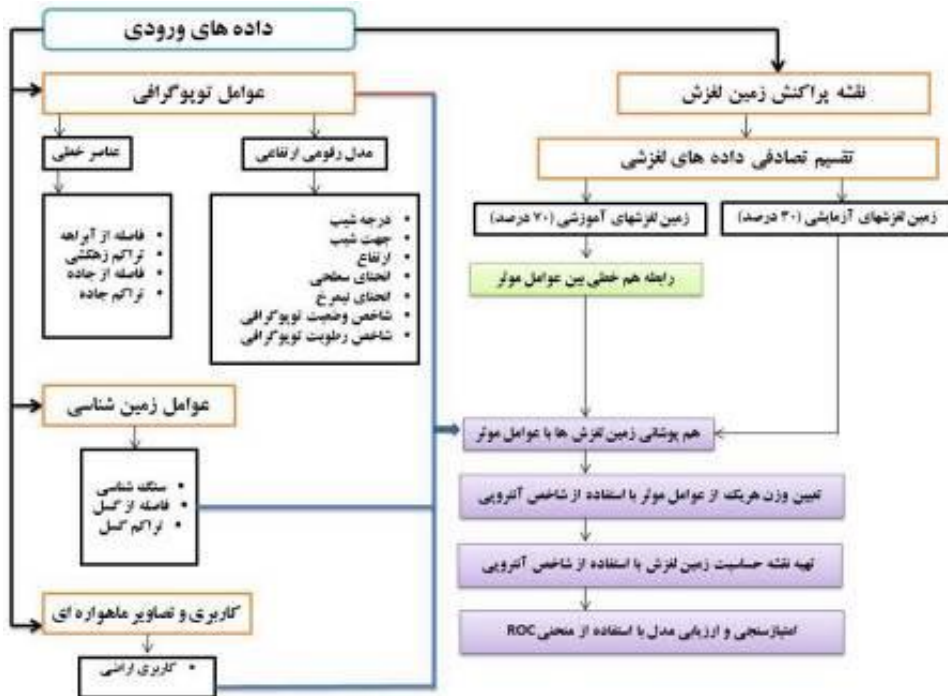
تهییه نقشه حساسیت زمین‌لغزش ۴ مرحله را شامل می‌شود که به شرح زیر است(شکل ۴): (۱) آمده‌سازی داده‌ها (۲) تجزیه و تحلیل همبستگی لایه‌ها (۳) مدل‌سازی حساسیت زمین‌لغزش ۴- اعتبارسنجی مدل

(۱) آمده‌سازی لایه‌ها: اولین گام در تهییه نقشه حساسیت زمین‌لغزش، آمده‌سازی نقشه پراکنش زمین‌لغزش‌های رخداده در گذشته است. این مرحله به عنوان مهم‌ترین بخش و پیش‌نیاز مطالعات حساسیت و خطر زمین‌لغزش محسوب می‌گردد (Regmi et al., ۲۰۱۴). عدده زمین‌لغزش‌های منطقه از نوع انتقالی و ساده می‌باشد(شکل ۳). بر اساس عملیات میدانی، تفسیر عکس‌های هوایی سال ۱۳۷۴ و تفسیر تصاویر ماهواره‌ای گوگل ارث (با دقت تقریباً ۱ متر) و آرشیو زمین‌لغزش‌های قدیمی گردآوری شده توسط سازمان جنگل‌ها، مراع و آبخیزداری در مقیاس ۱:۱۰۰۰۰۰، موقعیت زمین‌لغزش‌ها به صورت دقیق و معتبر با ۳۷ زمین‌لغزش تهییه گردید. زمین‌لغزش‌های شناسایی شده به صورت تصادفی به دو گروه داده‌های مدل‌سازی (۲۶ موقعیت زمین‌لغزش) و داده‌های اعتبارسنجی (۱۱ موقعیت زمین‌لغزش) تقسیم گردیدند که به ترتیب شامل ۷۰ درصد و ۳۰ درصد از کل موقعیت زمین‌لغزش‌ها می‌باشد. نقشه حساسیت زمین‌لغزش با استفاده از داده‌های مدل‌سازی زمین‌لغزش تهییه گردید. داده‌های اعتبارسنجی زمین‌لغزش برای ارزیابی دقت حساسیت زمین‌لغزش مورد استفاده قرار گرفت.

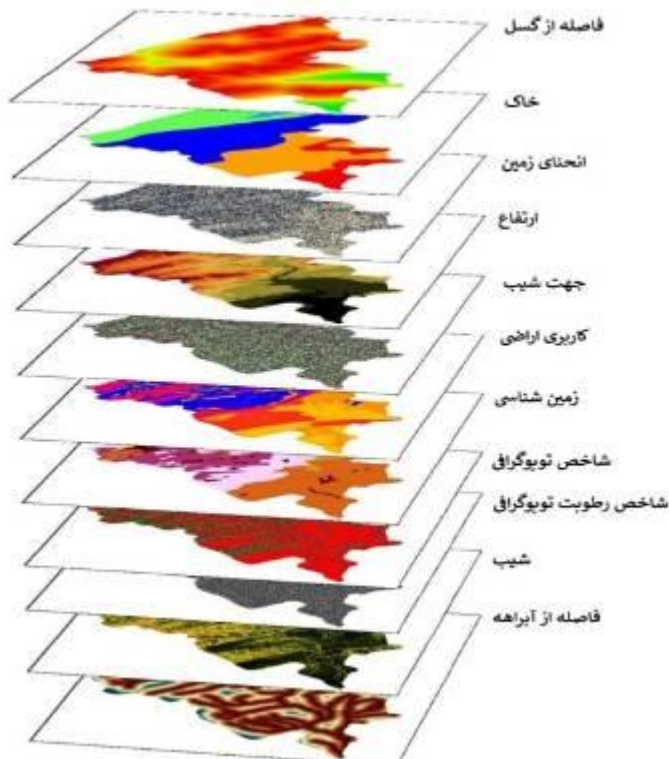


شکل ۳. زمین‌لغزش بزرگ دامنه شمالی کوه شیرینه (رخداده در فروردین ۱۳۹۵)

(۲) تهیه لایه‌های مؤثر در زمین‌لغزش: در این پژوهش ابتدا با استفاده از مطالعات پیشینه پژوهش، عملیات میدانی گستردۀ و خصوصیات محیطی منطقه موردمطالعه ۱۱ عامل مؤثر در زمین‌لغزش شناسایی گردید، در گام بعدی آزمون هم‌خطی با استفاده از شاخص‌های تحول و تورم واریانس بر روی عوامل اعمال گردید. عوامل کنترل کننده ناپایداری در این تحقیق شامل شبیب، جهت شبیب، انحنای سطح، طبقات ارتفاعی، رطوبت توپوگرافی، شاخص وضعیت توپوگرافی، کاربری اراضی، زمین‌شناسی، فاصله از گسل، فاصله از شبکه آبراهه، فاصله از جاده و خاک است (شکل ۵). هریک از این نقشه‌های موضوعی به شرح ذیل تهیه گردید: از تصاویر مدل رقومی ارتفاعی منطقه با قدرت تفکیک ۱۲/۵ متر مربوط به ماهواره ALUS-PALSAR، پارامترهای مورفومتریک شبیب، جهت شبیب، انحنای سطح، انحنای نیمرخ، طبقات ارتفاعی، شاخص رطوبت توپوگرافی و شاخص وضعیت توپوگرافی به دست آمد. لایه کاربری اراضی از سازمان جنگل‌ها و مراعع و آبخیزداری تهیه شد و پس از بهروزرسانی و انجام اصلاحات با استفاده از تصاویر گوگل ارث (با قدرت تفکیکی تقریباً ۱ متر) مورد استفاده قرار گرفت. نقشه زمین‌شناسی منطقه از رقومی کردن نقشه زمین‌شناسی ورقه سومار و ایلام در مقیاس ۱:۱۰۰۰۰۰ در نرم‌افزار ArcGIS تهیه گردید. دیگر لایه‌ها از نقشه‌های توپوگرافی استخراج گردید.



شکل ۴. فرایند انجام تحقیق



شکل ۵. داده های ورودی برای ارزیابی حساسیت زمین‌لغزش در منطقه مورد مطالعه

### • عوامل مؤثر بر وقوع لغزش

در این تحقیق، از روش نسبت فراوانی (FR) جهت تعیین ارتباط بین زمین‌لغزش‌ها و عوامل تأثیرگذار بر آن‌ها استفاده شد. روش نسبت فراوانی (FR) روشی احتمالاتی است که بر پایه رابطه بین توزیع زمین‌لغزش‌ها و هریک از عوامل مؤثر بر رخداد زمین‌لغزش بنا نهاده شده است (Tay et al., ۲۰۱۴). نسبت فراوانی با استفاده از رابطه (۳) به دست آمد (Ozdemir, ۲۰۱۱).

$$FR = \frac{Al}{Acl} \quad (3)$$

که در آن  $A_l$ : درصد زمین‌لغزش در هر طبقه از عوامل مؤثر،  $A_{cl}$ : درصد مساحت همان طبقه از عوامل مؤثر و FR: نسبت فراوانی است.

### • بررسی هم خطی بین متغیرهای مستقل

زمانی که دو متغیر مستقل بسیار به یکدیگر وابسته باشند، بیانگر وجود هم خطی بین آن‌ها است. برای تشخیص این مسئله، از دو شاخص ضریب تحمل<sup>۱</sup> و عامل تورم واریانس<sup>۲</sup> استفاده می‌شود. مقادیر ضریب تحمل کمتر از  $0/1$  یا  $0/2$  عامل تورم واریانس بالاتر از  $5$ ، نشان‌دهنده مسئله هم خطی و همبستگی زیاد بین دو متغیر است (Obrien, ۲۰۰۷).

### • شاخص انتروپی

انتروپی روشی جهت اندازه‌گیری یک سیستم بی‌نظم، ناپایدار، نامتعادل و دارای عدم قطعیت است. مقدار انتروپی یک سیستم با درجه بی‌نظمی آن سیستم، مرتبط است. اندازه‌گیری مقدار انتروپی ابتدا توسط بولتزمن ارائه شد که تحت عنوان اصل بولتزمن برای توصیف وضعیت ترمودینامیکی سیستم به کار گرفته شد. شانون<sup>۳</sup> (۱۹۴۸) اصل بولتزمن را اصلاح و مدل انتروپی را در نظریه اطلاعات پایه‌گذاری کرد. انتروپی قادر به اندازه‌گیری عدم قطعیت منابع اطلاعات است (Bednarik et al., ۲۰۰۹)، این شاخص نشان‌دهنده میزان بی‌نظمی در محیط است (Wang et al., ۲۰۱۰). تهیه نقشه حساسیت زمین‌لغزش با استفاده از شاخص انتروپی امکان محاسبه وزن مربوط به هر یک از متغیرهای ورودی را فراهم می‌کند (Devkota, ۲۰۱۳) مقدار وزن هر یک از عوامل به طور جداگانه تحت عنوان شاخص انتروپی بیان می‌گردد، درنتیجه با استفاده از این شاخص، می‌توان عواملی که بیشترین تأثیر را در رخداد زمین‌لغزش یا هر پدیده‌ای دارند، شناسایی کرد. به منظور تعیین وزن مربوط به هر یک از عوامل مؤثر از روابط<sup>۴</sup> تا<sup>۸</sup> استفاده شد (Bednarik et al., ۲۰۱۰; Wang et al., ۲۰۱۳; Devkota, ۲۰۱۳; Pourghasemi et al., ۲۰۱۳).

$$W_f = I_c * FR \quad (4)$$

$$I_c = \frac{Env_{max}-En}{Env_{max}} \quad c = 1, \dots n \quad (5)$$

$$En_{max} = log_2 N_c, N_c - NClass \quad (6)$$

$$P_d = \frac{FR}{\sum_c^{Nc=1} FR} \quad (7)$$

$$FR = \frac{Al}{Acl} \quad (8)$$

<sup>۱</sup>. Tolerance

<sup>۲</sup>. Variance inflation factor

<sup>۳</sup>. Shanon

که در آن  $A_f$  درصد پیکسل‌های لغزشی در هر طبقه از عوامل مؤثر،  $A_{cl}$  درصد پیکسل‌های (مساحت) مربوط به هر طبقه از عوامل مؤثر،  $FR$ : نسبت فراوانی لغزش هر طبقه از عوامل مؤثر،  $P_d$  چگالی احتمال،  $Env$ : مقدار انتروپی،  $En_{max}$ : حداکثر انتروپی،  $I_c$ : ضریب اطلاعات و  $W$ : وزن نهایی هر عامل است.

درنهایت شاخص حساسیت زمین‌لغزش (LS) با جمع مقادیر وزن حاصل از شاخص انتروپی هر یک از عوامل مؤثر با استفاده از معادله ۹ به دست آمد:

$$LS = \sum_i^n W_f \times C_f \quad (9)$$

که در آن  $C_f$ : عامل مؤثر در رخداد زمین‌لغزش است.

#### • ارزیابی نقشه حساسیت زمین‌لغزش با استفاده از شاخص آنتروپی

پس از تهیه نقشه حساسیت زمین‌لغزش با استفاده از شاخص آنتروپی، جهت ارزیابی و تعیین دقت نقشه از ۳۰ درصد (۱۱) داده‌های لغزشی آزمایشی و اعتبار سنجی که به صورت تصادفی انتخاب شده بودند، استفاده گردید. سپس با استفاده از منحنی تشخیص عملکرد نسبی ROC دقت مدل تهیه شده مورد ارزیابی قرار گرفت. منحنی ROC و محاسبه سطح زیر منحنی یکی از روش‌های استاندارد اعتبارسنجی به منظور مقایسه عملکرد پیش‌بینی انواع مدل‌ها است. در این منحنی، در محور X مقدار خطای مثبت و بر روی محور Y و مقدار خطای منفی نمایش داده می‌شود. این منحنی، یکی از کارآمدترین روش‌ها برای نمایش کیفیت مدل است که سطح زیر منحنی مقدار AUC (AUC) پیش‌بینی مدل را نشان می‌دهد. مقدار AUC بین ۰ تا ۱ متغیر است (Romer and Ferentinu, ۲۰۱۶).

### شرح و تفسیر نتایج

نتایج حاصل از بررسی رابطه هم خطی بین متغیرها با استفاده از دو شاخص ضریب تحمل و عامل تورم واریانس در جدول ۱ ارائه شده است. با توجه به نتایج بدست‌آمده، بیشترین مقدار عامل تورم واریانس و کمترین مقدار ضریب تحمل به ترتیب ۰/۲۷۵ و ۰/۴۲۳ می‌باشد؛ ازین‌رو، هیچ هم خطی بین متغیرهای مستقل مشاهده نشد (جدول ۱).

جدول ۱. رابطه هم خطی بین متغیرهای مستقل با یکدیگر

عامل تورم واریانس	ضریب تحمل	عامل
۰/۴۲۳	۰/۲۷۵	ارتفاع
۰/۴۲	۰/۶۵۲	شیب
۰/۹۵	۰/۴۲۳	جهت شیب
۰/۲۱	۰/۸۶۵	لیتلولژی
۰/۰۲	۰/۵۳۱	کاربری
۰/۰۶	۰/۴۶۷	فاصله از گسل
۰/۳۶	۰/۴۳۱	فاصله از جاده
۰/۳۷۱	۰/۴۱۲	خاک
۰/۴	۰/۷۰۶	انحنای سطح
۰/۸۷	۰/۵۱۸	شاخص وضعیت توپوگرافی
۰/۷۱	۰/۵۶۹	شاخص رطوبت توپوگرافی

بررسی ارتباط زمین‌لغزش با عوامل تأثیرگذار بر رخداد زمین‌لغزش با استفاده از روش نسبت فراوانی (FR) در منطقه موردمطالعه در جدول ۲ آرائه شده است. نتایج بیانگر آن است که در منطقه موردمطالعه، بیشترین رخداد زمین‌لغزش در طبقه ارتفاعی کمتر از ۱۲۰۰ متر (نسبت فرکانس برابر با ۰/۴۱) رخداده و با افزایش ارتفاع از فراوانی لغزش‌ها کاسته شده است. هرچند انتظار می‌رود با افزایش ارتفاع، بر فراوانی لغزش‌ها افزوده شود، اما در منطقه موردمطالعه، به علت وجود خاک‌های عمیق‌تر در ارتفاعات پایین و همچنین دخالت عوامل انسانی در پایین‌دست مناطق کوهستانی شرایط جهت وقوع زمین‌لغزش فراهم است که با نتایج محمدخان و همکاران (۱۳۹۳)، پورقاسمی و روسی (۲۰۱۶) مطابقت دارد. پایداری دامنه به اثر متقابل زاویه شیب با ویژگی‌های مواد دامنه (زاویه اصطکاک، نفوذپذیری و چسبندگی) وابسته است (یوسف و همکاران، ۲۰۱۵). در منطقه موردمطالعه با افزایش میزان شیب، فراوانی لغزش‌ها افزایش یافته است. در دامنه‌های پرشیب برتری تنفسی بر نیروی مقاوم و همچنین دخالت عوامل انسانی از طریق جاده‌سازی و تغییر کاربری بر ناپایداری دامنه‌ها افزوده شده و شرایط جهت وقوع لغزش فراهم شده است که با نتایج رگمی و همکاران (۲۰۱۴) و یوسف و همکاران (۲۰۱۴) مطابقت دارد. بیشتر زمین‌لغزش‌ها در کاربری مرتع و جنگل (با نسبت فرکانس ۰/۶۶) اتفاق افتاده است و کاربری کشاورزی (با نسبت فرکانس ۰/۶) در رتبه بعدی قرار دارد. علت این امر، مساحت بیش از ۵۰ درصدی کاربری جنگل و مرتع در منطقه موردمطالعه و دخالت عوامل انسانی در این مناطق است. اکثر لغزش‌هایی که در منطقه موردمطالعه در کاربری مرتع رخداده‌اند، در حاشیه جاده‌های داخل مرتع و مناطق پرشیب دیده می‌شوند که جهت دسترسی به تأسیسات زیربنایی، شرکت‌های شن و ماسه و مناطق روستایی احداث شده‌اند که با نتایج شهرابی و همکاران (۲۰۱۵) مطابقت دارد.

نتایج حاصل از بررسی ارتباط بین زمین‌لغزش‌ها با انحنای سطح، بیانگر آن است که بالاترین مقدار FR متعلق به دامنه‌های محدب بوده است. این امر به علت واگرایی جریان آب در این دامنه‌ها و انبساط و انقباض خاک دامنه‌های محدب می‌باشد که شرایط را جهت فرسایش و وقوع زمین‌لغزش‌ها فراهم کرده است که با نظرات چن و همکاران (۲۰۱۶) و هونگ و همکاران (۲۰۱۶) مطابقت دارد. توزیع مکانی رطوبت لایه بالایی خاک، روند پیچیده‌ای دارد که به عوامل طبیعی و فعالیت‌های انسانی بستگی دارد. از آنجایی که اندازه‌گیری میدانی رطوبت خاک، کار پرزمختی است، می‌توان از شاخص رطوبت توپوگرافی که از ترکیب مساحت حوزه بالادست و شیب به دست می‌آید و توانایی توصیف الگوی مکانی رطوبت را دارد، استفاده کرد. در منطقه موردمطالعه با افزایش رطوبت توپوگرافی افزایش رخداد لغزش را داریم که با نتایج گیو (۲۰۱۵) همخوانی دارد. بررسی ارتباط زمین‌لغزش با زمین‌شناسی منطقه نشان می‌دهد که بیشترین فراوانی زمین‌لغزش‌ها در گروه ۳ رخ داده (نسبت فرکانس ۱/۶) گروه‌های ۲ و ۴ که شامل سازنده‌های آسماری و تیزکوه می‌شود با نسبت فراوانی ۱/۳ و ۱/۰۲ در رتبه‌های بعدی قرار دارند، علت آن حساس بودن این گروه‌ها نسبت به وقوع زمین‌لغزش می‌باشد. این گروه‌ها متشکل از سنگ‌آهک با میان لایه‌های شیل و مارن می‌باشند که در صورت نفوذ آب در آن‌ها شرایط برای وقوع زمین‌لغزش فراهم می‌شود. نمونه واضح آن به زمین‌لغزش رخداده در سال ۱۳۹۵ در بخش غربی منطقه برمی‌گردد (شکل ۶). بررسی رخداد زمین‌لغزش با فاصله از آبراهه، بیانگر وقوع بیشتر زمین‌لغزش‌ها در فاصله کمتر از ۱۰۰ متری از شبکه آبراهه است (۰/۷۴) و با افزایش فاصله از آبراهه از فراوانی رخداد زمین‌لغزش کاسته شد. این بدان دلیل است که محدوده‌های نزدیک به شبکه زهکشی آب محتوى بیشتری نسبت به مناطق دور از شبکه زهکشی دارند که با نظرات وان (۲۰۰۹) و جعفری و همکاران (۲۰۱۴) مطابقت دارد. با افزایش تراکم شبکه زهکشی، فراوانی

رخداد زمین‌لغزش در حال افزایش است. آبراهه‌ها با فرسایش و پاشویی‌های مداوم و یا اشباع نواحی پایین دست دامنه‌ها تأثیر منفی بر روی پایداری دامنه‌ها می‌گذارند و موجب افزایش احتمال رخداد زمین‌لغزش می‌گردند.



شکل ۶. زمین‌لغزش کوچک در بالادست روستای نیان که در فاصله کمتر از ۱۰۰ متری آبراهه قرار دارد.

نتایج حاصل از بررسی ارتباط زمین‌لغزش با شاخص وضعیت توپوگرافی، بیانگر فراوانی بیشتر زمین‌لغزش‌های منطقه، در دره‌ها است. شاید دلیل این امر نقش آبراهه‌ها در فرسایش و پاشویی باشد که شرایط را برای وقوع زمین‌لغزش فراهم کرده است. فراوانی زمین‌لغزش‌ها در جهت‌های مختلف جنوبی توزیع نسبتاً یکسانی دارد (جدول ۲) و اندکی حساسیت بیشتر در دامنه‌های رو به جنوب دیده می‌شود. این مسئله می‌تواند به علت دریافت و توزیع نسبتاً یکسان رطوبت در جهت‌های مختلف دامنه‌ها و همچنین اثرگذاری عوامل دیگر بر وضعیت رطوبت و پایداری جهت‌های مختلف شیب باشد که با نتایج رومر و فرنتنینو (۲۰۱۶) مطابقت دارد. فعالیت‌های انسانی همچون جاده‌سازی، یکی از مهم‌ترین عوامل رخداد زمین‌لغزش در مناطق شیبدار به شمار می‌آید. جاده‌ها به خصوص در مناطق کوهستانی به علت سیستم زهکشی نامناسب و بی‌ثباتی مکانیکی در دامنه‌ها یکی از عوامل شناخته شده در افزایش وقوع زمین‌لغزش می‌باشند (Brenning, ۲۰۱۴، et al). ارتباط بین رخداد زمین‌لغزش با عامل فاصله از جاده، بیانگر وقوع بیشتر زمین‌لغزش‌ها در فاصله کمتر از ۱۰۰ متری جاده‌ها است (نسبت فرکانس ۱/۳۲). این روند کاهشی تا فاصله ۳۰۰ متری از جاده‌ها ادامه دارد، اما در فاصله ۴۰۰-۳۰۰ متری از جاده‌ها نسبت فراوانی رخداد زمین‌لغزش افزایش قابل توجهی می‌یابد (نسبت فرکانس ۰/۸۳) بیشتر زمین‌لغزش‌هایی که در نزدیکی جاده‌ها رخداده‌اند. (متاثر از عملیات باربرداری و بارگذاری ناشی از جاده‌سازی)، لغزش‌های جدید و کوچک می‌باشند، اما بیشتر زمین‌لغزش‌هایی که در فواصل دور از جاده‌ها رخداده‌اند، زمین‌لغزش‌های بزرگ و قدیمی می‌باشند که متاثر از عواملی دیگر همچون حساسیت بالای سازندگان زمین‌شناسی این مناطق به همراه شیب زیاد و وجود رطوبت فراوان ناشی از بارش زیاد می‌باشند که با نتایج یوسف و همکاران (۲۰۱۶) مطابقت دارد.

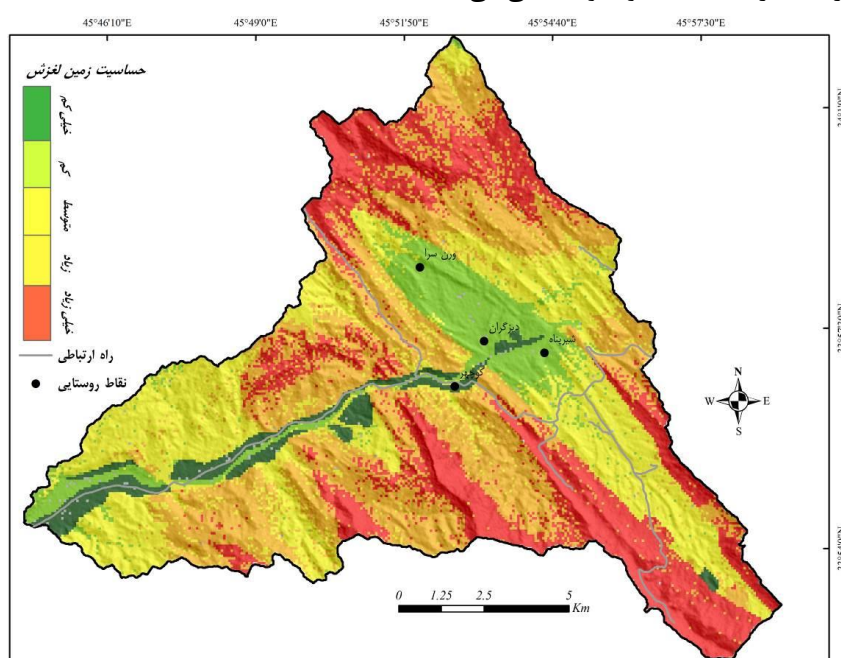
جدول ۲. ارتباط مکانی بین زمین‌لغزش و عوامل مؤثر در رخداد لغزش با استفاده از شاخص انتروپوی

عامل	کلاس	درصد پیکسل	درصد لغزش	نسبت فراوانی	چگالی احتمال	مقدار انتروپوی	حداکثر انتروپوی	ضریب اطلاعات	وزن
ارتفاع	۶۰۰-۴۰۰	۹/۳	۳/۵	۰/۰۳	۰/۰۷	۱/۲۴	۲	۰/۴۱	۰/۲۰۷
	۸۰۰-۶۰۰	۱۰/۲۸	۳/۹۱	۰/۰۶۸	۰/۰۹				

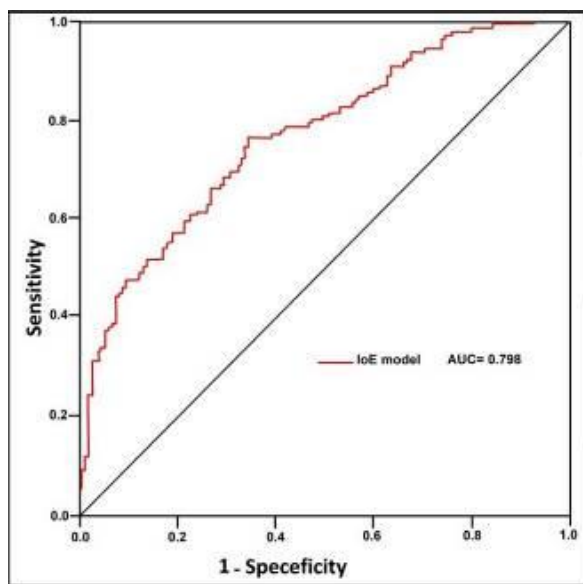
عامل	کلاس	درصد پیکسل	درصد لغزش	نسبت فراوانی	چگالی احتمال	مقدار انتروپوی	حداکثر انتروپوی	ضریب اطلاعات	وزن
شیب	۱۰۰۰-۸۰۰	۱۲/۲۷	۶/۳	۰/۹	۰/۱۲	۱/۶۴	۱/۷۲	۰/۳۶	۰/۵۴
	۱۲۰۰-۱۰۰۰	۲۳/۰۳	۱۱/۰۶	۰/۴۱	۰/۱۹				
	۱۴۰۰-۱۲۰۰	۲۷/۲	۴۵/۲۸	۰/۳۷	۰/۲۹				
	۱۴۰۰<	۱۸/۱۳	۳۰/۰۹	۰/۲۶	۰/۲۳				
جهت شیب	۵-۰	۱۰/۴	۷/۲۴	۰/۰۶	۰/۰۲	۱/۶۴	۱/۷۲	۰/۳۶	۰/۵۴
	۱۵-۵	۱۲/۰۳	۱۱/۱۶	۰/۴۱	۰/۰۹۴				
	۳۰-۱۵	۳۲/۷۱	۳۹/۰۳	۱/۳	۰/۱۸				
	۳۰<	۴۵/۰۳	۴۲/۱۳	۳/۲۱	۰/۷۱				
	هموار	۰/۳۴	۰/۰۰	۰/۰۰	۰/۰۰	۲/۲۶	۳/۰۶	۰/۰۹	۰/۰۷۴
	شمال	۱۴/۴	۲۰/۰۳	۰/۸۳	۰/۲۱				
	شمالغرب	۹/۵۶	۸/۵	۰/۶۲	۰/۰۹				
	غرب	۱۳/۶	۱۴/۷	۱/۲	۰/۱۴				
	جنوبغرب	۱۱/۶۵	۱۲/۳۴	۰/۵۶	۰/۱۱				
	جنوب	۱۳/۲۳	۱۵/۶	۱/۴۷	۰/۱۴				
	جنوبشرق	۱۱/۰۶	۱۲/۸۶	۱/۰۳	۰/۱۳				
	شرق	۱۶/۰۱	۱۳/۴۲	۱/۱۹	۰/۱۵				
خاک	شمالشرق	۹/۳۴	۴/۶۸	۱/۰۴	۰/۰۹	۱/۲۹	۱/۴۷	۰/۰۹	۰/۰۹
	۱ گروه	۳۷/۶	۳۱	۰/۷۴	۰/۲۵				
	۲ گروه	۴۲/۰۳	۳۸/۵۴	۰/۸۸	۰/۲۹				
	۳ گروه	۲۰/۰۱	۳۰/۲۱	۱/۳۲	۰/۴۶				
کاربری	جنگل	۳۴/۴	۳۰/۳۹	۱/۳۳	۰/۴۶	۱/۹۷	۲/۱۶	۰/۰۱۴	۰/۱۹۲
	مرتع	۴۳/۰۸	۴۹/۵	۱/۳۳	۰/۴۶				
	کشاورزی	۱۲/۸	۱۹/۱	۰/۶	۰/۱۹				
	آبی	۰/۰۶	۰/۰۰	۰/۰۰	۰/۰۰				
	برونزد سنگی	۰/۴۹	۰/۰۰	۰/۰۰	۰/۰۰				
شاخص وضعیت توپوگرافی	یال	۲۵	۲۷/۲۵	۰/۸۱	۰/۱۹	۱/۱۳	۱/۲۳	۰/۲۳	۰/۱۲۰
	خط القعر	۳۹/۲۲	۴۸/۱۴	۱/۶۲	۰/۷۱				
	دامنه	۲۵/۷۷	۲۴/۶	۰/۴۵	۰/۱۱				
شاخص رطوبت توپوگرافی	۴/۲۳>	۶۰/۳	۷۲/۴	۱/۲۲	۰/۵۱	۱/۱۳	۱/۸۴	۰/۲۳	۰/۱۲۴
	۴/۸-۲۳	۱۹/۰۳	۱۳/۵	۰/۷۳	۰/۳۵				
	۱۲-۸	۱۷/۷	۱۰/۰۹	۰/۴۴	۰/۱۴				
	۱۷-۱۲/۰۶	۲/۸	۰/۰۰	۰/۰۰	۰/۰۰				
فاصله از گسل	۲۰۰>	۷۷/۰۳	۸۳/۸	۱/۰۹	۰/۳۸	۱/۹	۲/۳۴	۰/۱۸۷	۰/۱۰۸
	۴۰۰-۲۰۰	۱۷/۸۷	۱۲/۹۴	۰/۷۳	۰/۲۴				
	۶۰۰-۴۰۰	۳/۹۵	۲/۹۵	۰/۷۴	۰/۲۷				
	۶۰۰-۸۰۰	۰/۸۷	۰/۳۰	۰/۳۳	۰/۱۲				
	۸۰۰<	۰/۲۸	۰/۰۰	۰/۰۰	۰/۰۰				
فاصله از جاده	۱۰۰>	۱۹/۷	۳۶/۷۴	۱/۹۴	۰/۳۹	۲/۰۸	۲/۲۶	۰/۰۶۱	۰/۰۶۲
	۲۰۰-۱۰۰	۱۳/۶	۱۲/۲	۰/۶۴	۰/۱۳				

عامل	کلاس	درصد پیکسل	درصد لغزش	نسبت فراوانی	چگالی احتمال	مقدار انتروپی	حداکثر انتروپی	ضریب اطلاعات	وزن
	۳۰۰-۲۰۰	۱۲/۸۵	۹/۰۴	۰/۷۵	۰/۱۱				
	۴۰۰-۳۰۰	۱۰/۷	۹/۳۶	۰/۹۸	۰/۲۳				
	۴۰۰<	۴۴/۰۳	۳۳/۱	۰/۸۳	۰/۱۵				
لیتولوژی	کواترنری	۱/۸	۰/۵۷	۰/۳۱	۰/۰۷	۲/۷۶	۳/۴۸	۰/۱۸	۰/۱۰۸
	آسماری	۲۱/۱	۲۸/۸	۱/۳۶	۰/۲۰				
	پابده	۲۶/۰۳	۴۰/۰۲	۱/۶	۰/۲۹				
	تیزکوه	۱۴/۱	۱۷/۰۳	۱/۰۲	۰/۱۹				
	گوربی	۴/۲۸	۱/۷۹	۰/۴۲	۰/۰۸				
	گچساران	۲/۲۴	۳/۲۱	۱/۳۲	۰/۱۷				
انحنای سطح	مقعر	۴۶/۶	۴۲	۰/۸۷	۰/۴۰	۰/۹۵	۱/۵	۰/۴۳	۰/۲۷۴
	محدب	۴۶/۲	۵۸/۴	۱/۳۵	۰/۶۴				
	یکنواخت	۴/۵	۰/۰۰	۰/۰۰	۰/۰۰				

بررسی عوامل مؤثر در وقوع زمین‌لغزش در حوضه ورن‌سرا نشان داد که عوامل شیب، انحنای سطح، ارتفاع، کاربری اراضی، رطوبت توپوگرافی، وضعیت توپوگرافی، لیتوولوژی، فاصله از گسل به ترتیب با ۰/۵۴، ۰/۰۰، ۰/۰۷/۰۰۷، ۰/۱۹۲، ۰/۱۲۴، ۰/۱۰۸، ۰/۱۰۸ و ۰/۱۰۸ دارای بیشترین وزن می‌باشند. پس از بررسی اهمیت عوامل مؤثر بر رخداد زمین‌لغزش، نقشه حساسیت زمین‌لغزش، بر اساس روابط مدل انتروپی، تهیه و به چهار طبقه حساسیت خیلی کم، کم، متوسط، زیاد و خیلی زیاد تقسیم گردید. مساحت مربوط به هر یک از کلاس‌ها به ترتیب ۴/۴، ۳۲/۶، ۲۸/۵، ۹ و ۲۴/۵ درصد می‌باشد (شکل ۷). نتایج ارزیابی نقشه حساسیت زمین‌لغزش با استفاده از ۳۰ درصد داده‌های لغزشی که جهت اعتبارسنجی مدل استفاده گردید. (شکل ۸) نشان داد که نقشه حساسیت زمین‌لغزش تهیه شده با استفاده از شاخص آنتروپی با سطح زیر منحنی ۶/۷۹ درصد، دارای دقت مطلوب و مناسبی می‌باشد.



شکل ۷. نقشه حساسیت زمین‌لغزش حوضه ورن‌سرا



شکل ۸. منحنی تشخیص عملکرد نسبی نقشه حساسیت زمین‌لغزش با استفاده از شاخص انتروپی

### نتیجه‌گیری

در این پژوهش خطر وقوع زمین‌لغزش برای حوضه آبخیز ورن‌سرا در جنوب‌غرب استان کرمانشاه با استفاده از سیستم اطلاعات جغرافیایی (GIS) ارزیابی و پهنه‌بندی گردید. در این رابطه از مدل انتروپی شانون استفاده شد. مدل انتروپی یکی از مناسب‌ترین رویکردها در زمینه پیش‌بینی مکانی خطر زمین‌لغزش می‌باشد و به طور گسترده‌ای مورد استفاده قرار می‌گیرد. با توجه به نتایج پهنه‌بندی می‌توان بیان داشت که در حدود ۵۶ درصد از منطقه موردمطالعه در معرض خطرات ناشی از رخداد زمین‌لغزش می‌باشد. این امر نشان‌دهنده اهمیت ناپایداری‌های دامنه‌ای در تحول چشم‌اندازها، عرضه رسوب و تخریب منابع طبیعی حوضه موردمطالعه می‌باشد. از این‌رو ناپایداری‌های دامنه‌ای به صورت تخریب توده‌ای باید در هرگونه برنامه‌ریزی و آمایش فضا در این منطقه مدنظر قرار گیرند. در حدود ۲۳ کیلومترمربع از منطقه موردمطالعه در زمرة منطقه با خطر کم واقع شده است که در بخش‌های مرکزی و غربی حوضه وسعت بیشتری دارد و به طور پراکنده در قسمت‌های شمالی حوضه مشاهده می‌شود. این مناطق در ارتفاع پایین منطبق بر سازندهای گچساران و آبرفت‌های کواترنری است که به سبب شبیه کم و دوری از خطوط گسلی و در ارتفاعات بالاتر به سبب سختی سازند و شبیه کمتر از ۱۵ درجه، خطر بروز لغزش در آن‌ها کم است. بررسی محل زمین‌لغزش‌های برداشت‌شده نشان می‌دهد که هیچ‌یک از این نقاط در این پهنه قرار نگرفته‌اند که خود، تناسب مدل را برای بررسی چنین موضوعاتی نشان می‌دهد.

از آنجایی که گسل‌ها یکی از عوامل مؤثر بر وقوع زمین‌لغزش در منطقه موردمطالعه است و با همپوشانی لایه‌های مربوط به لیتولوژی منطقه و گسل‌ها مشخص شد که در محل تغییر جنس و سختی سازندها پدیده گسل مشاهده می‌شود. به این معنی که دو سازندی که دارای مقاومت متفاوتی هستند، یکی از آن‌ها دارای مقاومت خیلی بیشتری از سازند دیگری است. در منطقه موردمطالعه در محل تقاطع و شکستگی‌ها، سازند پابده که تحت تأثیر فعالیت هوازدگی و گسل خوردگی می‌باشد، مستعد فرسایش و وقوع ناپایداری دامنه‌ای است که با نتایج تحقیقات یمانی و همکاران (۱۳۹۳) و مقیمی و همکاران (۱۳۹۱) همخوانی دارد. بیشتر زمین‌لغزش‌های منطقه در دو کاربری مرتع و جنگل رخداده‌اند که می‌توان دلیل آن را در تغییر کاربری اراضی منطقه موردمطالعه دانست. این شرایط زمانی تشدید می‌شود که ویژگی‌های فیزیوگرافی حوضه نظیر درجه شبیه نیز مزید بر علت گردیده و حرکت‌های توده‌ای از نوع زمین‌لغزش را در نبود ریشه

درختان، تشدید کرده است. پهنه‌بندی حساسیت زمین‌لغزش با مدل انتروپی و ارزیابی دقت آن با استفاده از منحنی ROC بیانگر دقت خیلی خوب مدل (۷۹/۶) درصد برای منطقه موردمطالعه است. با توجه به نتایج پژوهش، عامل شیب مهم‌ترین عامل در وقوع زمین‌لغزش در منطقه موردمطالعه قلمداد می‌شود، ازین‌رو پرهیز از هرگونه ساخت‌وساز در مناطق پرشیب و همچنین مناطق دارای سازند آسماری با شیب‌های تندر و به کاربردن عملیات ایمن‌سازی برای مسیرهای ارتباطی که از چنین مناطقی عبور داده شده‌اند، اقداماتی اساسی برای کاهش خطرات جانی و مالی زمین‌لغزش در محدوده‌های ذکر شده است. با توجه به اینکه کلاس‌های دارای حساسیت زیاد و خیلی زیاد عمدهاً در بخش‌های جنوب-غربی و شمال‌غربی منطقه موردمطالعه واقع شده است، پیشنهاد می‌گردد هرگونه اقدام عمرانی و یا تغییر کاربری اراضی در این منطقه با احتیاط کامل صورت گیرد. با توجه به دقت بالای نقشه تهیه‌شده، نقشه حساسیت زمین‌لغزش منطقه مطالعاتی می‌تواند به عنوان اطلاعات پایه برای اجتناب و یا کاهش خطرات ناشی از زمین‌لغزش‌های موجود و آینده، مورد استفاده مهندسین، تصمیم‌گیران و برنامه‌ریزان قرار گیرد.

## منابع

- رجی، معصومه، مهدی فیض اله پور. ۱۳۹۳. پنهانه‌بندی لغزش‌های حوضه رودخانه گیوی چای با استفاده از مدل پرسپترون چندلایه از نوع پیش‌خور پس انتشار (BP). *جغرافیا و توسعه*, ۳۶: ۱۶۱-۱۸۰.
- گروه مطالعه امور زمین‌لغزش. ۱۳۸۶. فهرست زمین‌لغزش‌های کشور. سازمان جنگل‌ها، مراتع و آبخیزداری کشور، معاونت آبخیزداری.
- یمانی، مجتبی، ابوالقاسم گورابی و پریسا پیرانی. ۱۳۹۳. ارزیابی ژئومورفولوژیکی پتانسیل زمین‌لغزش تاقدیس سیاه کوه غرب ایران، برنامه‌ریزی آمایش فضا، دوره هجدهم، شماره ۳، صص ۱۴۷-۱۷۰.
- مقیمی، ابراهیم، سجاد باقری سیدشکری و طاهر صفرزاد. ۱۳۹۱. پنهانه‌بندی خطر زمین‌لغزش با استفاده از مدل آنتروپی (مطالعه موردی تاقدیس نسار زاگرس شمال‌غربی، مجله پژوهش‌های جغرافیای طبیعی، ش ۷۹، صص ۷۷-۹۰).
- محمدخان، شیرین، عبدالکریم ویسی و کیوان باقی. ۱۳۹۳. پتانسیل سنجی خطر زمین‌لغزش با استفاده از مدل آنتروپی مطالعه موردی: (منطقه کوهستانی شیرپناه در جنوب غرب استان کرمانشاه). *مجله جغرافیایی سرزمین*, ۴۴: ۸۹-۱۲۰.
- Baeza, C.; and J. Corominas. ۲۰۰۱. Assessment of shallow landslide susceptibility by means of multivariate statistical techniques. *Earth Surface Processes and Landforms: The Journal of the British Geomorphological Research Group*, ۲۶: ۱۲۵۱-۱۲۶۳.
  - Bednarik, M.; B. Magulová, B. M. Matys and M. Marschalko. ۲۰۱۰. Landslide susceptibility assessment of the Kraovany Liptovsk Mikul railway case study. *Physics and Chemistry of the Earth*, ۳۵: ۱۶۲-۱۷۱.
  - Brenning, A.; M. Schwinn, A.P. Ruiz-Páez and J. Muenchow. ۲۰۱۴. Landslide susceptibility near highways is increased by one order of magnitude in the Andes of southern Ecuador, Loja province. *Natural Hazards and Earth System Sciences Discussions*, ۲: ۱۹۴۵-۱۹۷۵.
  - Chen, W.; W. Li, E. Hou, H. Bai, H. Chai, D. Wang and Q. Wang. ۲۰۱۰. Application of frequency ratio, statistical index, and index of entropy models and their comparison in landslide susceptibility mapping for the Baozhong Region of Baoji, China. *Arabian Journal of Geosciences*, ۸: ۱۸۲۹-۱۸۴۱.
  - Chen, W.; H.R. Pourghasemi, M. Panahi, A. Kornejady, J. Wang, X. Xi and S. Cao. ۲۰۱۷. Spatial prediction of landslide susceptibility using an adaptive neuro-fuzzy inference system combined with frequency ratio, generalized additive model, and support vector machine techniques. *Geomorphology*, ۲۹۷: ۶۹-۸۵.
  - Coelho-Netto, A. L.; A. de Souza Avelar and W.A. Lacerda. ۲۰۰۹. Landslides and disasters in southeastern and southern Brazil. *Developments in Earth Surface Processes*, ۱۳: ۲۲۳-۲۴۳.
  - Davis, J and L. Blesius. ۲۰۱۰. A hybrid physical and maximum-entropy landslide susceptibility model. *Entropy*, ۱۷: ۴۲۷۱-۴۲۹۲.
  - Devkota, K. C.; A.D. Regmi, H.R. Pourghasemi, K. Yoshida, B. Pradhan, I.C. Ryu and O.F. Althuwaynee. ۲۰۱۳. Landslide susceptibility mapping using certainty factor, index of entropy and logistic regression models in GIS and their comparison at Mugling–Narayanghat road section in Nepal Himalaya. *Natural hazards*, 69: ۱۳۵-۱۶۰.
  - Felicísimo, Á. M.; A. Cuartero, J. Remondo and E. Quirós. ۲۰۱۳. Mapping landslide susceptibility with logistic regression, multiple adaptive regression splines, classification and regression trees, and maximum entropy methods: a comparative study. *Landslides*, 10: ۱۷۵-۱۸۹.
  - Guo, C.; D.R. Montgomery, Y. Zhang, K. Wang and Z. Yang. ۲۰۱۵. Quantitative assessment of landslide susceptibility along the Xianshuuhe fault zone, Tibetan Plateau, China. *Geomorphology*, 248: ۹۳-۱۱۰.
  - Guzzetti, F.; A. Carrara, M. Cardinali, M and P. Reichenbach. ۱۹۹۹. Landslide hazard evaluation: a review of current techniques and their application in a multi-scale study, Central Italy. *Geomorphology*, 31: ۱۸۱-۲۱۶.
  - Hong, H.; H.R. Pourghasemi and Z.S. Pourtaghi. ۲۰۱۶. Landslide susceptibility assessment in Lianhua County (China): a comparison between a random forest data mining technique and bivariate and multivariate statistical models. *Geomorphology*, 259: ۱۰۵-۱۱۸.

- Kanungo, D. P.; M.K. Arora and R.Gupta. ۲۰۰۹. Landslide Susceptibility Zonation (LSZ) Mapping - A Review. *Journal of South Asia Disaster Studies*, ۱: ۸۱- ۱۰۵.
- Kornejadi, A.; M. Ownegh and A. Bahremand. ۲۰۱۷. Landslide susceptibility assessment using maximum entropy model with two different data sampling methods. *Catena*, ۱۵۲: ۱۴۴-۱۶۲.
- Jaafari, A.; A. Najafi, H.R. Pourghasemi, J. Rezaeian and A.Sattarian. ۲۰۱۴. GIS based frequency ratio and index of entropy models for landslide susceptibility assessment in the Caspian forest, northern Iran. *International Journal of Environmental Science and Technology*, ۱۱: ۹۰۹-۹۲۶.
- Obrien, R. M., ۲۰۰۷. A caution regarding rules of thumb for variance inflation factors. *Quality & Quantity*, 41: ۶۷۳-۶۹۰.
- Ozdemir, A., ۲۰۱۱. GIS-based groundwater spring potential mapping in the Sultan Mountains (Konya, Turkey) using frequency ratio, weights of evidence and logistic regression methods and their comparison. *Journal of Hydrology*, 411: ۲۹۰-۳۰۸.
- Palaz, E. B.; H.S. ATLI and S.A.R.I. Selver. ۲۰۲۰. Landslide Susceptibility Assessment by Information Entropy Model, Uzundere NE Turkey. *UMTEB International Congress Vocational & Technical Sciences*, ۱۰۵-۱۱۲.
- Paoletti, V.; D. Tarallo, F. Matano and A. Rapolla . ۲۰۱۳. susceptibility zoning on seismicinduced landslides: An application to Sannio and Irpinia areas, Southern Italy. *Physics and Chemistry of the Earth*. ۶۳: ۱۴۷-۱۵۹.
- Park, N. W. ۲۰۱۰. Using maximum entropy modeling for landslide susceptibility mapping with multiple geoenvironmental data sets. *Environmental Earth Sciences*, 73: ۹۳۷-۹۴۹.
- Pourghasemi, H. R and M. Rossi. ۲۰۱۶. Landslide susceptibility modeling in a landslide prone area in Mazandarn Province, north of Iran: a comparison between GLM, GAM, MARS, and M-AHP methods. *Theoretical and Applied Climatology*, ۱۲۴: ۱-۲۰.
- Pourghasemi, H. R.; H.R. Moradi and S.F. Aghda. ۲۰۱۳. Landslide susceptibility mapping by binary logistic regression, analytical hierarchy process, and statistical index models and assessment of their performances. *Natural hazards*, 69: ۷۴۹- ۷۷۹.
- Regmi, A. D.; K.C. Devkota, K. Yoshida, B. Pradhan, H.R. Pourghasemi, T. Kumamoto and A. Akgun. ۲۰۱۴. Application of frequency ratio, statistical index, and weights-of-evidence models and their comparison in landslide susceptibility mapping in Central Nepal Himalaya. *Arabian Journal of Geosciences*, 7(2), ۷۲۰-۷۴۲.
- Romer, C.; and M. Ferentinou. ۲۰۱۶. Shallow landslide susceptibility assessment in a semiarid environment- A Quaternary catchment of KwaZulu-Natal, South Africa. *Engineering Geology*, 201: ۲۹-۴۴.
- Shahabi, H.; S. Khezri, B.B. Ahmad and M.Hashim. ۲۰۱۴. Landslide susceptibility mapping at central Zab basin, Iran: A comparison between analytical hierarchy process, frequency ratio and logistic regression models. *Catena*, 110: ۵۵-۷۰.
- Tay, L. T.; H. Lateh, M.K. Hossain and A.A. Kamil. ۲۰۱۴. Landslide hazard mapping using a poisson distribution: a case study in Penang Island, Malaysia. *Springer*, 114: ۵۲۱-۵۴۰
- Wan, S. ۲۰۰۹. A spatial decision support system for extracting the core factors and thresholds for landslide susceptibility map. *Engineering Geology*, 108: ۲۳۷-۲۵۱.
- Wang, Q.; W. Li, Y. Wu, Y. Pei and P. Xie. ۲۰۱۶. Application of statistical index and index of entropy methods to landslide susceptibility assessment in Gongliu (Xinjiang, China). *Environmental Earth Sciences*, 70: ۰۹۹.
- Yufeng, S.; andJ. Fengxiang. ۲۰۰۹. Landslide stability analysis based on generalized information entropy. In Environmental Science and Information Application Technology. *ESIAT International Conference*, ۴: ۸۳-۸۵.